

Lecture 20: 交替方向乘子法

Lecturer: 陈士祥

Scribes: 陈士祥

1 问题形式

交替方向乘子法 (ADMM) 是一种常用的优化算法, 适用于解决具有特定结构的优化问题, 特别是可以分解为多个子问题的情况。主要可以处理如下可分的凸问题:

$$\begin{aligned} \min_{x_1, x_2} \quad & f_1(x_1) + f_2(x_2), \\ \text{s.t.} \quad & A_1 x_1 + A_2 x_2 = b, \end{aligned} \tag{20.1}$$

- f_1, f_2 是适当的闭凸函数, 不需要是光滑的, $x_1 \in \mathbb{R}^n, x_2 \in \mathbb{R}^m, A_1 \in \mathbb{R}^{p \times n}, A_2 \in \mathbb{R}^{p \times m}, b \in \mathbb{R}^p$.
- 可分: 目标函数可以分成两个变量独占的函数, 但是变量被线性约束结合在一起. 常见的一些无约束和带约束的优化问题都可以表示成这一形式。

2 交替方向乘子法

Example 20.1 例

- 考虑如下问题

$$\min_x f_1(x) + f_2(x).$$

若 f_1, f_2 都是非光滑函数, 之前学过的算法, 例如近似点梯度法, 则无法处理。

引入一个新的变量 z 并令 $x = z$, 将问题转化为 (20.1) 的形式:

$$\begin{aligned} \min_{x, z} \quad & f_1(x) + f_2(z), \\ \text{s.t.} \quad & x - z = 0. \end{aligned}$$

- 带线性变换的无约束优化问题

$$\min_x f_1(x) + f_2(Ax).$$

可以引入一个新的变量 z , 令 $z = Ax$, 则问题变为

$$\begin{aligned} \min_{x,z} \quad & f_1(x) + f_2(z), \\ \text{s.t.} \quad & Ax - z = 0. \end{aligned}$$

同样转化为 (20.1) 的形式。

- 全局一致性问题

$$\min_x \sum_{i=1}^N \phi_i(x).$$

令 $x = z$, 并将 x 复制 N 份, 分别为 x_i , 那么问题转化为

$$\begin{aligned} \min_{x_i, z} \quad & \sum_{i=1}^N \phi_i(x_i), \\ \text{s.t.} \quad & x_i - z = 0, \quad i = 1, 2, \dots, N. \end{aligned}$$

2.1 回顾：增广拉格朗日函数法

- 首先写出问题(20.1)的增广拉格朗日函数

$$\begin{aligned} L_\rho(x_1, x_2, y) = & f_1(x_1) + f_2(x_2) + y^T(A_1x_1 + A_2x_2 - b) \\ & + \frac{\rho}{2} \|A_1x_1 + A_2x_2 - b\|_2^2, \end{aligned} \quad (20.2)$$

其中 $\rho > 0$ 是二次罚项的系数。

- 常见的求解带约束问题的增广拉格朗日函数法 (ALM) 为如下更新：

$$(x_1^{k+1}, x_2^{k+1}) = \arg \min_{x_1, x_2} L_\rho(x_1, x_2, y^k), \quad (20.3)$$

$$y^{k+1} = y^k + \tau \rho (A_1x_1^{k+1} + A_2x_2^{k+1} - b), \quad (20.4)$$

其中 τ 为步长。

ALM 的缺点：子问题(20.3)不易求解。

2.2 交替乘子方向法

英文名：Alternating direction method of multipliers, 简称 ADMM

- 交替方向乘子法的基本思路：第一步迭代(20.3)同时对 x_1 和 x_2 进行求解有时候比较困难，而固定一个变量求解关于另一个变量的极小问题可能比较简单，因此我们可以考虑对 x_1 和 x_2 交替求极小

- 其迭代格式可以总结如下:

$$x_1^{k+1} = \arg \min_{x_1} L_\rho(x_1, x_2^k, y^k), \quad (20.5)$$

$$x_2^{k+1} = \arg \min_{x_2} L_\rho(x_1^{k+1}, x_2, y^k), \quad (20.6)$$

$$y^{k+1} = y^k + \tau \rho(A_1 x_1^{k+1} + A_2 x_2^{k+1} - b), \quad (20.7)$$

其中 τ 为步长, 通常取值于 $(0, \frac{1+\sqrt{5}}{2}]$

2.3 应用举例

Example 20.2 (基追踪问题) 对于基追踪问题. 设 $A \in \mathbb{R}^{m \times n} (m \leq n)$, $b \in \mathbb{R}^m$, $x \in \mathbb{R}^n$, 基追踪问题被描述为

$$\min_{x \in \mathbb{R}^n} \|x\|_1, \quad \text{s.t.} \quad Ax = b. \quad (20.8)$$

ALM 迭代更新格式为

$$\begin{cases} x^{k+1} = \arg \min_{x \in \mathbb{R}^n} \left\{ \|x\|_1 + \frac{\sigma}{2} \left\| Ax - b + \frac{\lambda^k}{\sigma} \right\|_2^2 \right\}, \\ \lambda^{k+1} = \lambda^k + \sigma (Ax^{k+1} - b). \end{cases} \quad (20.9)$$

引入 $y = x$, 问题变为

$$\min_{x \in \mathbb{R}^n, y \in \mathbb{R}^m} \|y\|_1, \quad \text{s.t.} \quad Ax = b, \quad x = y. \quad (20.10)$$

ADMM 迭代更新格式为

$$\begin{cases} x^{k+1} = \arg \min_{x \in \mathbb{R}^n} \left\{ \langle \lambda_{1,k}, Ax - b \rangle + \frac{\sigma}{2} \|Ax - b\|_2^2 + \langle \lambda_{2,k}, x - y_k \rangle + \frac{\sigma}{2} \|x - y_k\|_2^2 \right\}, \\ y^{k+1} = \arg \min_{y \in \mathbb{R}^m} \left\{ \|y\|_1 + \langle \lambda_{2,k}, y - x_{k+1} \rangle + \frac{\sigma}{2} \|y - x_{k+1}\|_2^2 \right\}, \\ \lambda_{1,k+1} = \lambda_{1,k} + \sigma (Ax^{k+1} - b), \\ \lambda_{2,k+1} = \lambda_{2,k} + \sigma (y_{k+1} - x_{k+1}) \end{cases} \quad (20.11)$$

Example 20.3 (LASSO 问题) LASSO 问题

$$\min \quad \mu \|x\|_1 + \frac{1}{2} \|Ax - b\|^2.$$

转换为标准问题形式:

$$\begin{aligned} \min_{x, z} \quad & \frac{1}{2} \|Ax - b\|^2 + \mu \|z\|_1, \\ \text{s.t.} \quad & x = z. \end{aligned}$$

ADMM 迭代格式为

$$\begin{aligned}
 x^{k+1} &= \operatorname{argmin}_x \left\{ \frac{1}{2} \|Ax - b\|^2 + \frac{\rho}{2} \|x - z^k + y^k/\rho\|_2^2 \right\}, \\
 &= (A^T A + \rho I)^{-1} (A^T b + \rho z^k - y^k), \\
 z^{k+1} &= \operatorname{argmin}_z \left\{ \mu \|z\|_1 + \frac{\rho}{2} \|x^{k+1} - z + y^k/\rho\|^2 \right\}, \\
 &= \operatorname{prox}_{(\mu/\rho)\|\cdot\|_1} (x^{k+1} + y^k/\rho), \\
 y^{k+1} &= y^k + \tau \rho (x^{k+1} - z^{k+1}).
 \end{aligned}$$

对于 x_k 的子问题, 有如下方式减少每个迭代步的计算量:

- 因为 $\rho > 0$, 所以 $A^T A + \rho I$ 总是可逆的. 若使用固定的罚因子 ρ , 我们使用例如 *Cholesky* 分解得到 $A^T A + \rho I$ 的初始分解, 从而减小后续迭代中的计算量.
- 在 *LASSO* 问题中, 矩阵 $A \in \mathbb{R}^{m \times n}$ 通常有较多的列 (即 $m \ll n$), 因此 $A^T A \in \mathbb{R}^{n \times n}$ 是一个低秩矩阵, 二次罚项的作用就是将 $A^T A$ 增加了一个正定项. 该 ADMM 主要运算量来自更新 x 变量时求解线性方程组, 复杂度为 $O(n^3)$
- 可以利用 *SMW* 公式减少矩阵求逆计算量:

$$(A^T A + \rho I_n)^{-1} = \rho^{-1} I - \rho^{-1} A^T (\rho I_m + A A^T)^{-1} A$$

Example 20.4 (Fused LASSO 问题) 对许多问题 x 本身不稀疏, 但在某种变换下是稀疏的:

$$\min_x \mu \|Dx\|_1 + \frac{1}{2} \|Ax - b\|^2. \quad (20.12)$$

一个重要的例子是当 $D \in \mathbb{R}^{(n-1) \times n}$ 是一阶差分矩阵

$$D_{ij} = \begin{cases} 1, & j = i + 1, \\ -1, & j = i, \\ 0, & \text{其他}, \end{cases}$$

且 $A = I$ 时, 广义 *LASSO* 问题为

$$\min_x \frac{1}{2} \|x - b\|^2 + \mu \sum_{i=1}^{n-1} |x_{i+1} - x_i|,$$

这个问题就是图像去噪问题模型.

通过引入约束 $Dx = z$:

$$\begin{aligned}
 \min_{x, z} \quad & \frac{1}{2} \|Ax - b\|^2 + \mu \|z\|_1, \\
 \text{s.t.} \quad & Dx - z = 0,
 \end{aligned} \quad (20.13)$$

引入乘子 y ，其增广拉格朗日函数为

$$L_\rho(x, z, y) = \frac{1}{2} \|Ax - b\|^2 + \mu \|z\|_1 + y^T(Dx - z) + \frac{\rho}{2} \|Dx - z\|^2.$$

此问题的 x 迭代是求解方程组

$$(A^T A + \rho D^T D)x = A^T b + \rho D^T \left(z^k - \frac{y^k}{\rho} \right),$$

而 z 迭代依然通过 ℓ_1 范数的邻近算子.

- 因此交替方向乘子法所产生的迭代为

$$\begin{aligned} x^{k+1} &= (A^T A + \rho D^T D)^{-1} \left(A^T b + \rho D^T \left(z^k - \frac{y^k}{\rho} \right) \right), \\ z^{k+1} &= \text{prox}_{(\mu/\rho)\|\cdot\|_1} \left(Dx^{k+1} + \frac{y^k}{\rho} \right), \\ y^{k+1} &= y^k + \tau \rho (Dx^{k+1} - z^{k+1}). \end{aligned}$$

- 对于全变差去噪问题， $A^T A + \rho D^T D$ 是三对角矩阵，所以此时 x 迭代可以在 $\mathcal{O}(n)$ 的时间复杂度内解决；对于图像去模糊问题， A 是卷积算子，则利用傅里叶变换可将求解方程组的复杂度降低至 $\mathcal{O}(n \log n)$.

2.3.1 图像去噪模型

图像去噪是图像处理领域的一个重要任务，旨在从损坏的或嘈杂的图像中恢复出清晰的图像。去噪模型的目标是在尽可能保留图像细节和结构的同时，移除噪声。其数学模型如下：

$$b = Kx_t + w$$

- x_t 为未知图像
- b 为观察到的图像，模糊且有噪声； w 为噪声
- $N \times N$ 的像素点按列储存为长为 N^2 的向量

模糊矩阵 K

- 表示一个 2 维的卷积，是有空间不动点的扩散函数
- 满足周期边界条件，有循环块 (circulant blocks)

- 可对角化，即存在酉的 2 维离散傅立叶变换矩阵 W ，使得

$$K = W^H \text{diag}(\lambda) W.$$

系数矩阵为 $I + K^T K$ 的线性方程组可在 $O(N^2 \log N)$ 的时间内求解。

我们有如下图像添加噪声和去噪声例子：求解下面问题，以恢复出带噪声/模糊的图片，

$$\min_x \frac{1}{2} \|Kx - b\|^2 + \|Dx\|_1.$$

- b 为给定的带噪声的图像，如下图中间的图片， 1024×1024 的图像，满足周期边界条件
- 高斯模糊算子 K
- 椒盐噪声 (salt-and-pepper noise) w : 50% 的像素点被随机替换为 0/1



original



noisy/blurred



restored

2.3.2 鲁棒主成分分析

在经典的 PCA 中，数据被分解为几个主成分，这些主成分捕获了数据中的主要变异性。然而，当数据中存在离群点或异常值时，PCA 的性能可能会大大下降，因为它试图捕获所有数据点的变异性，包括异常值。

RPCA 解决了这个问题。它将数据矩阵分解为两部分：一个低秩矩阵和一个稀疏矩阵。低秩矩阵捕获数据的主要结构，而稀疏矩阵则包含异常值或离群点。通过这种方式，RPCA 能够在保持数据主要结构的同时，有效地处理异常值。

其数学模型如下

$$\begin{aligned} \min_{X, S} \quad & \|X\|_* + \mu \|S\|_1, \\ & X + S = M, \end{aligned} \tag{20.14}$$

其中 $\|\cdot\|_1$ 与 $\|\cdot\|_*$ 分别表示矩阵 ℓ_1 范数与核范数.

引入乘子 Y 作用在约束 $X + S = M$ 上, 我们可以得到此问题的增广拉格朗日函数

$$L_\rho(X, S, Y) = \|X\|_* + \mu\|S\|_1 + \langle Y, X + S - M \rangle + \frac{\rho}{2}\|X + S - M\|_F^2. \quad (20.15)$$

- 对于 X 子问题,

$$\begin{aligned} X^{k+1} &= \operatorname{argmin}_X L_\rho(X, S^k, Y^k) \\ &= \operatorname{argmin}_X \left\{ \|X\|_* + \frac{\rho}{2} \left\| X + S^k - M + \frac{Y^k}{\rho} \right\|_F^2 \right\}, \\ &= \operatorname{argmin}_X \left\{ \frac{1}{\rho} \|X\|_* + \frac{1}{2} \left\| X + S^k - M + \frac{Y^k}{\rho} \right\|_F^2 \right\}, \\ &= U \operatorname{Diag} \left(\operatorname{prox}_{(1/\rho)\|\cdot\|_1}(\sigma(A)) \right) V^T, \end{aligned}$$

其中 $A = M - S^k - \frac{Y^k}{\rho}$, $\sigma(A)$ 为 A 的所有非零奇异值构成的向量并且 $U \operatorname{Diag}(\sigma(A)) V^T$ 为 A 的约化奇异值分解.

- 对于 S 子问题,

$$\begin{aligned} S^{k+1} &= \operatorname{argmin}_S L_\rho(X^{k+1}, S, Y^k) \\ &= \operatorname{argmin}_S \left\{ \mu\|S\|_1 + \frac{\rho}{2} \left\| X^{k+1} + S - M + \frac{Y^k}{\rho} \right\|_F^2 \right\} \\ &= \operatorname{prox}_{(\mu/\rho)\|\cdot\|_1} \left(M - X^{k+1} - \frac{Y^k}{\rho} \right). \end{aligned}$$

- 那么交替方向乘子法的迭代格式为

$$\begin{aligned} X^{k+1} &= U \operatorname{Diag} \left(\operatorname{prox}_{(1/\rho)\|\cdot\|_1}(\sigma(A)) \right) V^T, \\ S^{k+1} &= \operatorname{prox}_{(\mu/\rho)\|\cdot\|_1} \left(M - X^{k+1} - \frac{Y^k}{\rho} \right), \\ Y^{k+1} &= Y^k + \tau\rho(X^{k+1} + S^{k+1} - M). \end{aligned}$$

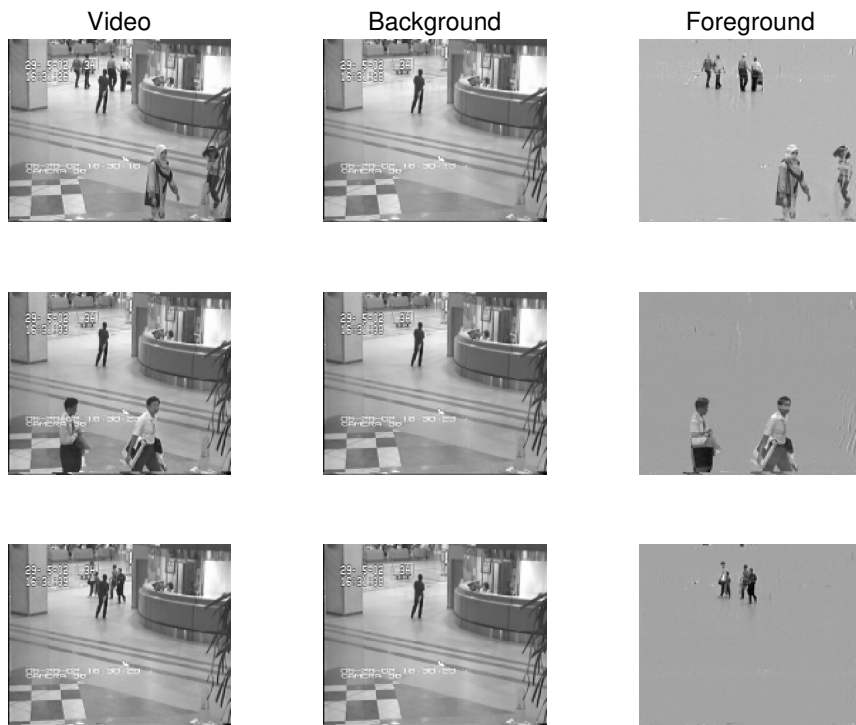


图 20.1: 通过 RPCA, 将视频图片分为背景 (低秩) 和前景 (稀疏) 两个部分。

2.4 ADMM 收敛结果

我们先引入一些必要的假设.

- $f_1(x), f_2(x)$ 均为闭凸函数, 且每个 ADMM 迭代子问题存在唯一解;
- 原始问题的解集非空, 且 Slater 条件满足.

注: 假设给出的条件是很基本的.

- f_1 和 f_2 的凸性保证了要求解的问题是凸问题, 每个子问题存在唯一解是为了保证迭代的良定义
- 在 Slater 条件满足的情况下, 原始问题的 KKT 对和最优解是对应的, 因此可以很方便地使用 KKT 条件来讨论收敛性.

Theorem 20.1 在假设的条件下, 进一步假定 A_1, A_2 列满秩. 如果 $\tau \in \left(0, \frac{1+\sqrt{5}}{2}\right)$, 则序列 $\{(x_1^k, x_2^k, y^k)\}$ 收敛到原始问题的一个 KKT 对.

2.5 多块问题的 ADMM

考虑有多块变量的情形

$$\begin{aligned} \min_{x_1, x_2, \dots, x_N} \quad & f_1(x_1) + f_2(x_2) + \dots + f_N(x_N), \\ \text{s.t.} \quad & A_1 x_1 + A_2 x_2 + \dots + A_N x_N = b. \end{aligned} \quad (20.16)$$

这里 $f_i(x_i)$ 是闭凸函数, $x_i \in \mathbb{R}^{n_i}, A_i \in \mathbb{R}^{m \times n_i}$. 同样写出增广拉格朗日函数 $L_\rho(x_1, x_2, \dots, x_N, y)$, 相应的多块 ADMM 迭代格式为

$$\begin{aligned} x_1^{k+1} &= \operatorname{argmin}_x L_\rho(x, x_2^k, \dots, x_N^k, y^k), \\ x_2^{k+1} &= \operatorname{argmin}_x L_\rho(x_1^{k+1}, x, \dots, x_N^k, y^k), \\ &\dots\dots\dots \\ x_N^{k+1} &= \operatorname{argmin}_x L_\rho(x_1^{k+1}, x_2^{k+1}, \dots, x, y^k), \\ y^{k+1} &= y^k + \tau \rho (A_1 x_1^{k+1} + A_2 x_2^{k+1} + \dots + A_N x_N^{k+1} - b), \end{aligned}$$

其中 $\tau \in (0, (\sqrt{5} + 1)/2)$ 为步长参数.

需要说明的是, 多块 ADMM 有时候未必收敛. 有如下例子.

Example 20.5 (多块 ADMM 收敛性反例) 考虑最优化问题

$$\begin{aligned} \min \quad & 0, \\ \text{s.t.} \quad & A_1 x_1 + A_2 x_2 + A_3 x_3 = 0, \end{aligned} \quad (20.17)$$

其中 $A_i \in \mathbb{R}^3, i = 1, 2, 3$ 为三维空间中的非零向量, $x_i \in \mathbb{R}, i = 1, 2, 3$ 是自变量. 该问题实际上就是求解三维空间中的线性方程组, 若 A_1, A_2, A_3 之间线性无关, 则问题(20.17) 只有零解. 此时容易计算出最优解对应的乘子为 $y = (0, 0, 0)^T$.

(20.17)的增广拉格朗日函数为

$$L_\rho(x, y) = 0 + y^T (A_1 x_1 + A_2 x_2 + A_3 x_3) + \frac{\rho}{2} \|A_1 x_1 + A_2 x_2 + A_3 x_3\|^2.$$

- 当固定 x_2, x_3, y 时, 对 x_1 求最小可推出

$$A_1^T y + \rho A_1^T (A_1 x_1 + A_2 x_2 + A_3 x_3) = 0,$$

整理可得

$$x_1 = -\frac{1}{\|A_1\|^2} \left(A_1^T \left(\frac{y}{\rho} + A_2 x_2 + A_3 x_3 \right) \right).$$

可类似地计算 x_2, x_3 的表达式

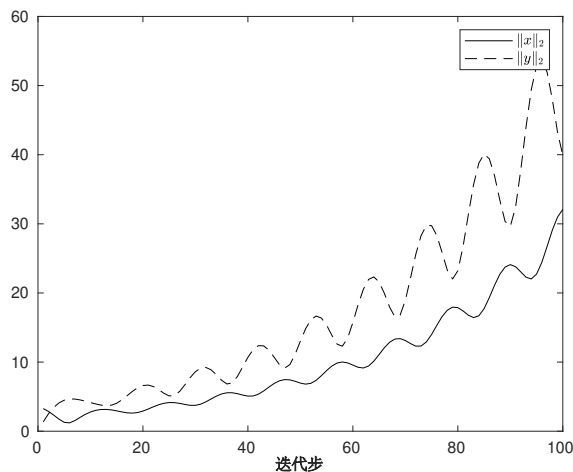
- 因此多块交替方向乘子法的迭代格式可以写为

$$\begin{aligned}
 x_1^{k+1} &= -\frac{1}{\|A_1\|^2} A_1^T \left(\frac{y^k}{\rho} + A_2 x_2^k + A_3 x_3^k \right), \\
 x_2^{k+1} &= -\frac{1}{\|A_2\|^2} A_2^T \left(\frac{y^k}{\rho} + A_1 x_1^{k+1} + A_3 x_3^k \right), \\
 x_3^{k+1} &= -\frac{1}{\|A_3\|^2} A_3^T \left(\frac{y^k}{\rho} + A_1 x_1^{k+1} + A_2 x_2^{k+1} \right), \\
 y^{k+1} &= y^k + \rho(A_1 x_1^{k+1} + A_2 x_2^{k+1} + A_3 x_3^{k+1}).
 \end{aligned} \tag{20.18}$$

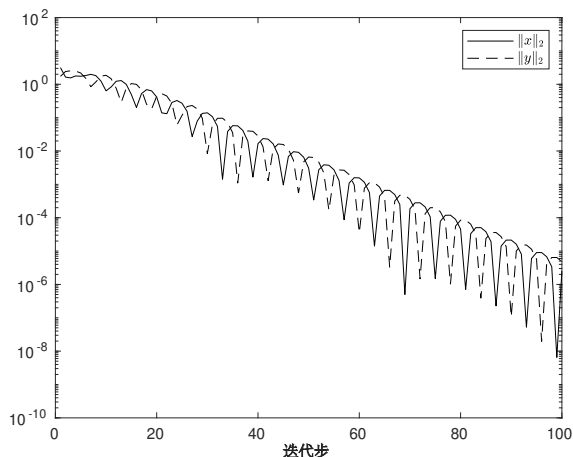
- 自变量初值初值选为 $(1, 1, 1)$, 乘子选为 $(0, 0, 0)$. 选取 A 为

$$\tilde{A} = \begin{bmatrix} 1 & 1 & 2 \\ 0 & 1 & 1 \\ 0 & 0 & 1 \end{bmatrix} \quad \text{或} \quad \hat{A} = \begin{bmatrix} 1 & 1 & 1 \\ 1 & 1 & 2 \\ 1 & 2 & 2 \end{bmatrix}.$$

- 下图记录了在不同 A 下 x 和 y 的 ℓ_2 范数随迭代的变化过程.



(a) 系数矩阵为 \tilde{A} , ADMM 不收敛。



(b) 系数矩阵为 \hat{A}

图 20.2: 选取不同 A 时的数值结果

作业 20.1 1. 给出 ADMM 求解线性规划标准形式, 以及其对偶问题的迭代形式, 要求写出子问题的求解公式。

2. 考虑如下问题

$$\min \sum_{i=1}^n f_i(x_i), \quad \text{s.t.} \quad x_1 = x_2 = \dots = x_n.$$

其中, f_i 均为闭凸函数, 且其近似点映射有显式解。写出多块 ADMM 求解该问题的迭代形式, 要求每个 x_i 的子问题均有显式解。

3. 考虑如下 *Sparse Inverse Covariance Selection* 问题: 给定对称正定矩阵 $C \in \mathbb{R}^{n \times n}$, $\lambda > 0$ 为给定的实数, 求解

$$\min_X \text{Tr}(CX) - \log \det X + \lambda \|X\|_1,$$

这里, $\|X\|_1 = \sum_{i=1}^n \sum_{j=1}^n |X_{ij}|$ 。使用 *ADMM* 求解该问题, 并给出子问题的显式解。(提示: 该问题为凸问题, 默认 X 的定义域为对称正定矩阵集合, 即无需添加正定矩阵约束, 直接考虑无约束问题, $\log \det X$ 的梯度为 X^{-1})。